

Investigation and quantification of air pollution distribution from industrial stacks by AERMOD software in the southwest of Bandar Abbas County

Reza Peykanpour Fard

Ph.D, Faculty of Natural Resources Engineering,
Isfahan University of technology, Isfahan, Iran.

Parvaneh Peykanpour Fard

* Ph.D, Human Environment and Sustainable
Development Research Center, Najafabad
Branch, Islamic Azad University, Najafabad,
Iran. (corresponding author):
boom_payesh@yahoo.com

Hadi Hadian Ghahdarijani

Msc, Department of Environmental Management
(HSE), Technical and Engineering Faculty,
Islamic Azad University, Zahedan Branch,
Zahedan, Iran.

Received: 2023/05/25

Accepted: 2023/10/22

Document Type: Research article

Doi:10.22038/jreh.2023.66934.1536

ABSTRACT

Background and Purpose: One of the fundamental problems of air pollution is that it often affects large areas of various land uses, such as cities and agricultural products hundreds of kilometers away from the source of pollutants, or results in cumulative effects with other industries. This research aims to quantify the concentration of pollutants in residential areas around industrial areas.

Materials and Methods: In this study, the AERMOD software was used for modeling air pollutants. This software uses meteorological data, digital elevation models, and information about pollutant sources. It assesses and quantifies air pollution levels related to PM₁₀, SOx, NOx, and CO pollutants in a specific location.

Results: The results of this study indicate that in these 28 population points surrounding the targeted industrial land use, pollutant concentrations in both scenarios with and without background concentrations did not exceed the standard limits for any pollutant. The most significant pollutant in this research was NOx, which showed the slightest difference from the permissible pollution limit. Furthermore, due to the closer proximity of pollutants to environmental standards in this region, increased loading of industrial land uses can lead to various health, economic, and social problems.

Conclusion: The findings of this research demonstrate that to assess and quantify pollutant concentrations in the areas surrounding industrial pollutant points, it is advisable to consider background pollution in addition to modeling point sources for greater accuracy in the direction of sustainable development in such areas.

Keywords: Air pollution, Bandar Abbas, Modelling, Particulate Matter, AERMOD

► **Citation:** Peykanpour Fard R, Peykanpour Fard P, Hadian Ghahdarijani H. Investigation and quantification of air pollution distribution from industrial stacks by AERMOD software in the southwest of Bandar Abbas County. *Iranian Journal of Research in Environmental Health*. Autumn 2023; 9(3): 325-337.

بررسی و کمی‌سازی پراکنش آلودگی هوای حاصل از دودکش‌های صنعتی توسط نرم‌افزار AERMOD در جنوب غربی شهرستان بندرعباس

چکیده

زمینه و هدف: یکی از اساسی‌ترین مشکلات آلودگی هوای این است که معمولاً مناطق وسیعی از کاربری‌های مختلف همچون شهرها و محصولات کشاورزی را در صدها کیلومتر از منشاء تولید آلینده‌ها تحت تأثیر خود قرار داده و یا موجب اثرات تجمیعی با دیگر صنایع شده است. هدف از این پژوهش کمی‌سازی غلظت آلینده‌ها در مناطق مسکونی اطراف کاربری‌های صنعتی است.

مواد و روش‌ها: در این مطالعه به‌منظور مدل‌سازی آلینده‌های هوای از نرم‌افزار AERMOD استفاده گردید. این نرم‌افزار با استفاده از داده‌های هواشناسی، مدل رقومی ارتفاع و اطلاعات مربوط به منابع آلینده میزان آلودگی هوای مربوط به آلینده‌های NO_x , SO_x , PM_{10} و CO را در یک مکان مشخص ارزیابی و کمی‌سازی می‌کند.

یافته‌ها: نتایج حاصل از پژوهش حاضر حاکی از این است که در این نقطه جمعیتی پیرامون کاربری صنعتی مورد نظر از نظر غلظت آلینده‌ها در هر دو حالت با و بدون غلظت زمینه، غلظت هیچ آلینده‌ای بالاتر از حد استاندارد نبوده است؛ و مهم‌ترین آلینده در این پژوهش NO_x سالینه تشخیص داده شد که کمترین اختلاف را با حد مجاز آلودگی دارد. همچنین به دلیل نزدیکی بیشتر آلینده‌ها به حد مجاز محیط زست در این منطقه بارگذاری بیشتر کاربری‌های صنعتی می‌تواند باعث بروز مشکلات زیادی از لحاظ سلامتی، اقتصادی و اجتماعی شود.

نتیجه‌گیری: یافته‌های این پژوهش نشان می‌دهد که به‌منظور ارزیابی و کمی‌سازی غلظت آلینده‌های مناطق پیرامون نقاط صنعتی علاوه بر مدل‌سازی منابع نقطه‌ای بهتر است آلودگی‌های موجود در زمینه نیز برای دقت بیشتر در راستای توسعه پایدار و درخور اینگونه مناطق بکار گرفته شوند.

کلید واژه‌ها: آلودگی هوای بندر عباس، مدل‌سازی، ذرات معلق، AERMOD

رضا پیکانپور فرد

دانشجوی دکتری، گروه مهندسی محیط زیست، دانشکده منابع طبیعی، دانشگاه صنعتی اصفهان، اصفهان، ایران.

پروانه پیکانپور فرد

* استادیار، مرکز تحقیقات محیط زیست انسانی و توسعه پایدار، واحد تجف آباد، دانشگاه آزاد اسلامی، نجف آباد، ایران. (نویسنده، مستنول):

boom_payesh@yahoo.com

هادی هادیان قهریجانی

کارشناسی ارشد، گروه مدیریت محیط زیست (HSE)، دانشکده، فنی و مهندسی، دانشگاه آزاد اسلامی واحد زاهدان، زاهدان، ایران.

تاریخ دریافت: ۱۴۰۲/۰۳/۰۴

تاریخ پذیرش: ۱۴۰۲/۰۷/۳۰

نوع مقاله: پژوهشی

◀ استناد: پیکانپور فرد ر، پیکانپور فرد پ، هادیان قهریجانی ه. بررسی و کمی‌سازی پراکنش آلودگی هوای حاصل از دودکش‌های صنعتی توسط نرم‌افزار AERMOD در جنوب غربی شهرستان بندرعباس.

فصلنامه پژوهش در پهادشت محیط. پاییز ۱۴۰۲: ۳۲۵-۳۳۷.

مقدمه

امروزه بسیاری از انسان‌ها در معرض آلودگی هوا قرار دارند و این پدیده، سلامت انسان‌ها را از جنبه‌های مختلفی تهدید می‌کند. سازمان ملل متحد، طی گزارشی اعلام نموده است که ۹۲ درصد از جمعیت کره زمین، در محیط‌هایی زندگی می‌کنند که آلودگی هوا از میزان توصیه شده تجاوز می‌کند. این واقعیات، در کنار تشديید مشکل آلودگی هوا در کشور ما اهمیت بررسی اثرات این پدیده روی شاخص‌های سلامت جامعه را بیش از پیش نشان می‌دهد (۱، ۲ و ۳).

آلودگی هوا بخش جدایی ناپذیری از توسعه صنعتی و زندگی شهری در چندین دهه اخیر بوده است. وجود منابع متنوع آلودگی هوا اعم از منابع متحرک، منابع صنعتی، منابع طبیعی (مانند طوفان‌های گردوغبار) و همچنین تنوع وسیع و روزافزون آلاینده‌های آلی و شیمیایی باعث پیچیدگی هرچه بیشتر این پدیده گردیده و نحوه مدیریت آلودگی هوا، کنترل و ارزیابی خسارات را دشوارتر از قبل نموده است (۴).

تاریخچه آلودگی هوا و بحث در مورد آن به قرون وسطی و حتی سال‌های پیش از آن مربوط می‌شود؛ بنابراین آلودگی هوا و قوانین وضع شده در مورد آن پدیده جدیدی نیست. برای مثال در سال ۶۸۵ شمسی استفاده از زغال سنگ در کوره‌های آهک‌پزی به دلیل آلوده کردن هوای شهر لندن ممنوع شد. چنین قوانینی در سایر نقاط جهان نیز در گذشته وضع شده است. امروز پیامدهای مختلف آلودگی هوا باعث شده که نظارت و کنترل کیفیت هوا به صورت امری گریز ناپذیر در تمام جوامع در رأس مسائل ملی مطرح شود (۵).

در جو زمین عناصر گوناگونی وجود دارد، ماده‌هایی چون مونوکسید کربن، اکسیدهای نیتروژن، هیدروکربن‌ها، اکسیدهای سولفور و ذرات معلق به عنوان آلوده‌کننده‌های اصلی هوا شناخته شده و باعث به وجود آمدن بیش از ۹۰ درصد آلودگی هوا می‌شوند (۶). چگونگی ورود آلاینده‌ها و همچنین سرعت آزادسازی آلاینده‌ها به اتمسفر بر آلودگی هوا تأثیر دارد. آلاینده‌ها ممکن است به طور متناوب یا پیوسته یا دوره‌ای آزاد شوند یا از یک منبع یا از چندین منبع یا از منابع نقطه‌ای و غیر نقطه‌ای آزاد شوند. همچنین

پراکندگی آلاینده‌ها به طریقه ورود آن‌ها به اتمسفر بستگی دارد. فقدان اطلاعات از نحوه پراکنش آلاینده‌ها باعث می‌شود تعیین تأثیر انتشار آن‌ها بر خارج از مرزهای سایت و در مناطق مسکونی اطراف دشوار باشد (۷).

اصلی‌ترین عوامل حرکت ذرات و آلاینده‌های موجود در هوا سرعت و جهت باد است؛ اما پارامترهایی دیگری مانند رطوبت، بارش و ارتفاع دودکش‌ها نیز پراکندگی گازها را تحت تأثیر قرار می‌دهند (۸). مدل^۱ AERMOD یک مدل گوسی پراکنش آلاینده‌های گازی بوده که رفتار توده هوای حاوی آلاینده‌ها را بر مبنای حل معادلات پراکنش در حالت دائمی مدل‌سازی می‌کند. مبنای حل آرایه‌های گرد و گلوبال را در این مدل از مدل‌سازی AERMOD برای مدل‌سازی نزدیک منطقه (حداکثر ۵۰ کیلومتر) برای شرایط پایداری مختلف بر مبنای مفاهیم تلاطم لایه مرزی سیاره‌ای استوار است (۹).

کمیسیون اروپا اهمیت جوامع محلی و منطقه‌ای را در تلاش برای مقابله با تغییرات آب و هوایی اذعان کرده است. در این راستا تعدادی از برنامه‌ها برای ایجاد شهرک‌های اروپایی در تلاش برای دستیابی به آینده کم کردن و بهبود کیفیت زندگی از طریق توسعه اقتصادی پایدار انجام داده است. این ابتکارها به‌طور کلی موفقیت آمیز بوده و منجر به تعهد تعداد بیشتری از شهرهای اروپایی در این راستا شده است. در عین حال مشخص شده است که یک نیاز کلیدی برای بهبود برنامه جامع شهروها به‌وسیله یک رویکرد یکپارچه و استراتژیک که بر ارزیابی هزینه‌ها در برابر استفاده از انرژی پایدار تمرکز دارد، موجود است (۱۰).

تأثیر سلامتی و هزینه‌های مربوط به آلودگی هوای ناشی از ذرات $PM_{2.5}$ در پاییخت ایران در سال ۲۰۱۷ برآورد شده است. در مطالعه‌ای که در شهر تهران انجام شد. علاوه بر میزان مرگ و میر ناشی از آلودگی هوای محیط در تهران، تأثیر اقتصادی مرتبط

سازمان بهداشت جهانی فراتر است که این مورد می‌تواند برای سلامت مردم و ساکنان این شهرستان، زنگ خطر باشد (۱۵ و ۱۶). شرکت‌های پتروشیمی تاثیر منفی قابل توجهی بر کیفیت هوای محیط زیست و سلامت مردم دارند. بنابراین اندازه گیری میزان انتشار آلاینده‌ها و پراکندگی آنها برای تعیین سیاست‌ها و محدودیت‌های انتشار آلاینده‌ها ضروری است. در این تحقیق، پژوهشگران غلظت برخی از آلاینده‌های خطناک مانند CO_x , NO_x و SO_x را برای تمام فصول سال اندازه گیری کردند. در تمام مناطق مسکونی نزدیک به این پتروشیمی در جنوب ایران، از مدل AERMOD برای مدل‌سازی پراکندگی و پیش‌بینی غلظت آلاینده‌های آزاد شده در جو استفاده شد بود. نتایج اندازه گیری در این تحقیق نشان داد که بیشترین میزان آلاینده منتشر شده از آلاینده NO_x است و در نتیجه میزان انتشار NO_x در فصول مختلف به طور قابل توجهی بیشتر از میزان انتشار CO_x و SO_x است (۱۷ و ۱۸).

براساس نتایج یک پژوهش در شهرستان مبارکه استان اصفهان، به منظور ارزیابی توان کاربری‌های کشاورزی، صنعتی و شهری علاوه بر فاکتورهای سنتی، فاکتورهای آلودگی هوا ازجمله PM_{10} و NO_2 نیز بکار گرفته شده است. پژوهشگران در این پژوهش دریافت‌هایند که با توجه به موقعیت مکانی شهرستان مبارکه و در نظر گرفتن سه کاربری اصلی این شهرستان (کشاورزی، شهری، صنعتی) و تعارضاتی که بیشتر به دلیل آلودگی هوای منطقه که از صنایع فولاد حاصل شده‌اند و با رشد جمعیت بیشتر خواهد شد بهتر است برای طرح‌های آمایشی اینگونه مناطق فاکتورهای آلودگی هوانیز با وزن بالا دخیل شوند (۱۹ و ۲۰).

با توجه به مطالعات صورت گرفته در حوزه مدل‌سازی آلودگی هوا مشخص شد که ایجاد پنهان بندی آلودگی هوا بدون توجه به مناطق مسکونی اطراف هر نوع منبع آلوده کننده نمی‌تواند به تنهایی در مدیریت اراضی مختلف در جهت توسعه پایدار و در خور ثمر بخش باشد. درنهایت تحقیق حاضر با هدف بررسی کارایی این روش در شهرستان بندرعباس به ارزیابی و کمی‌سازی غلظت آلاینده‌ها با استفاده از مدل‌سازی آلودگی هوا در مدیریت اراضی شهرستان بندرعباس پرداخته است.

با این اثرات نیز تخمین زده شده است. نتایج آن‌ها نشان داد که بیش از ۷۰۰۰ کشته یا ۱۰۰۰۰۰ سال زندگی از دست رفته است؛ و هزینه اقتصادی مربوط به آن حدود ۳ میلیارد دلار در سال ۲۰۱۷ بوده است. استراتژی‌های قاطع و پایدار کاهش آلودگی هوا می‌تواند صرفه‌جویی قابل توجهی در هر دو بخش سلامت و اقتصاد به همراه داشته باشد که بدون توجه متتمرکز در سطح دولت و سیاست‌گذاران مسئول قابل دستیابی نیست (۱۱).

در مطالعه‌ای دیگر در شهر تهران نویسنده‌گان به آسیب‌پذیری فضایی و بحران آلودگی هوا در این کلانشهر پرداختند. در این پژوهش، هدف شناسایی و تعیین این نقاط و محدوده‌ها در سطح شهر تهران بوده است. روش تحقیق به کارگرفته شده در این پژوهش از نوع توصیفی-تحلیلی بوده و اطلاعات مورد نیاز نیز از طریق روش کتابخانه‌ای و میدانی گردآوری شده است. نتایج حاصل از این پژوهش نشان داده که نواحی غرب و جنوب شهر تهران به سبب تراکم بالای جمعیت و همچنین منابع آلاینده، آسیب‌پذیری بیشتری را نسبت به سایر بخش‌های شهر داشته که می‌تواند زنگ خطری برای سلامت شهروندان ساکن در این بخش باشد (۱۲).

در شهر اهواز نیز مطالعه‌ای بر روی ذرات معلق کمتر از ۱۰ میکرون و تاثیر آن در سلامت شهروندان در شهر اهواز انجام شده است. برای این منظور ابتدا داده‌های خام جمع‌آوری شده و در مرحله آخر به کمک داده‌های پردازش شده اثرات بهداشتی آلاینده ذرات معلق کمتر از ۱۰ میکرون محاسبه گردیده است. نتایج نشان داد که تعداد کل مرگ ناشی از بیماری‌های قلبی-عروقی و موارد مراجعات بیمارستانی به علت بیماری تنفسی منتبه به ذرات معلق کمتر از ۱۰ میکرون در یک سال ۷۱۴ و ۲۰۸۴ نفر بود (۱۳ و ۱۴).

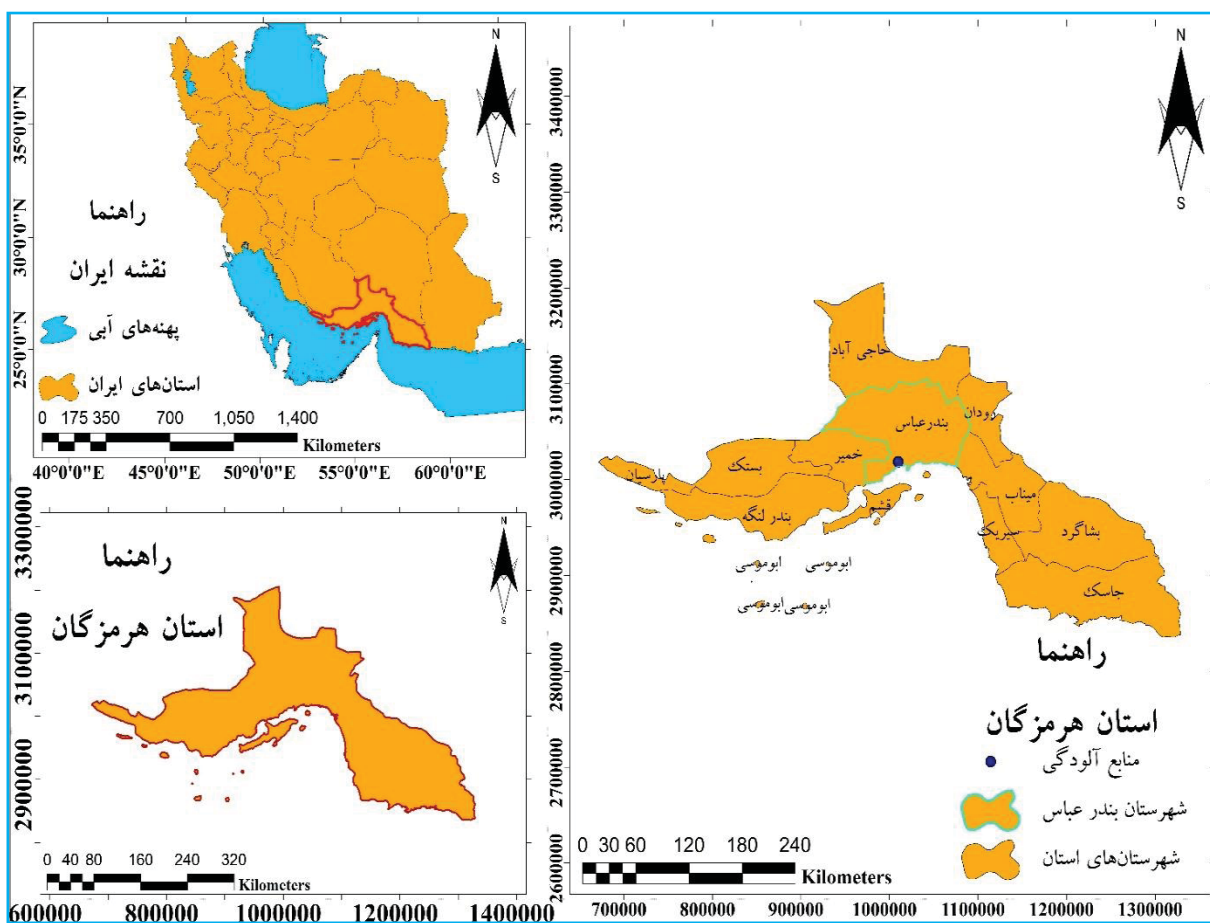
در مطالعه‌ای دیگر، غلظت‌های سالانه و فصلی ذرات معلق $\text{PM}_{2.5}$ و PM_{10} را با استفاده از مدل رگرسیون کاربری زمین برآورد کردند. این مطالعه در شهرستان سبزوار در استان خراسان رضوی صورت گرفت و در ۲۶ ایستگاه پایش، مقادیر ذرات معلق ذکر شده را اندازه گیری کردند. همچنین نتایج پژوهش ایشان نشان داد که غلظت‌های ذارت معلق در این شهرستان از دستورالعمل‌های

بندرعباس طبق نتایج سرشماری نفوس و مسکن در سال ۱۳۹۵، برابر با ۵۲۶۴۸ نفر بوده است. این شهرستان از شمال هم مرز با شهرستان های حاجی آباد از شرق با میناب و از غرب با خمیر و از شمال غرب همچووار با استان فارس و از جنوب هم به آب های خلیج فارس محدود می گردد. شهرستان بندرعباس با مساحت ۱۰۴۹۳ کیلومتر مربع، حدود ۱۴/۶ درصد از کل مساحت خاکی استان هرمزگان را تشکیل می دهد (۲۱).

روش کار

معرفی محدوده مورد مطالعه

استان هرمزگان در جنوب ایران و در شمال تنگه هرمز قرار دارد. این استان در حدفاصل بین مختصات جغرافیایی ۲۵ درجه و ۲۴ دقیقه تا ۲۸ درجه و ۵۷ دقیقه عرض شمالی و ۵۳ درجه و ۴۱ دقیقه تا ۵۹ درجه و ۱۵ دقیقه طول شرقی واقع شده است. شهرستان بندرعباس در موقعیت ۲۷ درجه و ۱۱ دقیقه عرض شمالی و ۵۶ درجه و ۱۸ دقیقه طول شرقی واقع شده است (شکل ۱). جمعیت



شکل ۱. موقعیت جغرافیایی شهرستان بندرعباس

حدود آستانه‌های انواع آلاینده‌های هوای

گوگرد، در غلظت‌های مختلف و زمان حضور آن‌ها را با توجه به سلامت انسان بررسی کرده است که استاندارد هوای پاک ایران مصوب سال ۱۳۹۵ در جدول ۱ نشان داده شده است. آلودگی

سازمان حفاظت از محیط زیست ایران در رابطه با میزان ماندگاری آلاینده‌ها در اتمسفر، دستورالعمل کیفیت هوای برای برخی آلاینده‌ها مثل ذرات معلق، ازن، دی‌اکسید نیتروژن و دی‌اکسید

مدلسازی، با توجه با شعاع ۲۵ کیلومتری در نظر گرفته شده از یک شبکه با سلول‌هایی به ابعاد ۱۰۰۰ متر در ۱۰۰۰ متر استفاده گردید (شکل ۲).

عمده‌ترین آلاینده‌های هوا شامل $PM_{2.5}$, NO_x , SO_x , CO , O_3 و PM_{10} می‌باشد. منابع آلودگی هوا به صورت متحرک و غیر متحرک، انسانی و غیرانسانی، خطی، نقطه‌ای، پایی گونی و حجمی یا سطحی می‌باشد. AERMOD به صورت غیر متحرک، انسانی، نقطه‌ای و حجمی و همچنین جز مدل‌های پراکندگی می‌باشد. داده‌های مورد استفاده در این پژوهش شامل اطلاعات اندازه‌گیری شده نزد انتشار از سه دودکش در مجتمع بازیافت فولاد از خسارات حاصل از ذوب بندرعباس برای آلاینده‌های NO_x , SO_x , PM_{10} و CO می‌باشد. همچنین از اطلاعات هواشناسی ایستگاه بندرعباس از تاریخ ۱۳۹۱/۱۰/۱۱ تا ۱۳۹۶/۱۰/۱۲ شمسی استفاده شده که شامل فاکتورهایی مختلف هواشناسی از جمله ابرناکی، جهت باد، سرعت باد، بارندگی یک ساعته، رطوبت نسبی و دمای خشک می‌باشد.



شکل ۲. مناطق مسکونی در شعاع ۲۵ کیلومتری از منابع آلاینده

روش کار در این پژوهش شامل ۳ گام اصلی است که به ترتیب زیر می‌باشد:

۱. پیش‌پردازشگر^۱: پیش‌پردازنده AERMET با در نظر گرفتن داده‌های خام هواشناسی به صورت یک ساعته برای فاکتورهایی مختلف هواشناسی از جمله ابرناکی، جهت

3. AMS EPA Regulatory Meteorological

هوا مخلوطی از ذرات معلق (مانند PM_{10} , $PM_{2.5}$ ، گازها (مانند مونوکسید کربن، دی‌اکسید نیتروژن، ازن و دی‌اکسید گوگرد)، ترکیبات آلی (مانند هیدروکربن‌های آروماتیک حلقوی) و فلزات می‌باشد. کیفیت هوا مرتبط با این ترکیبات با شاخص آلودگی هوا (API)^۲ و شاخص کیفیت هوا (AQI)^۳ بیان می‌شود. در مطالعات مرتبط با آلودگی هوا، به طور گسترده‌ای از ذرات معلق ($PM_{2.5}$ و PM_{10}) و سایر آلاینده‌ها برای ارزیابی و کمی‌سازی میزان آلودگی هوا استفاده می‌شود.

جدول ۱. استاندارد هوا پاک ایران مصوب ۱۳۹۵

نوع آلاینده	حداکثر مجاز برای تکرار میکرو گرم بر مترمکعب	حداکثر مجاز برای تکرار در یک سال	۱۳۹۵
CO			
حداکثر ۱ ساعته	۴....	۴....	
حداکثر ۸ ساعته	۱....	۱....	
(SO_x)			
حداکثر ۱ ساعته	۱۹۶	۱۹۶	
حداکثر ۲۴ ساعته	۳۹۵	۳۹۵	هیچ گونه شاخصی اعلام نشده است.
(NO_x)			
حداکثر ۱ ساعته	۲۰۰	۲۰۰	
حداکثر سالیانه	۱۰۰	۱۰۰	
PM_{10}			
حداکثر ۲۴ ساعته	۱۵۰	۱۵۰	

مدلسازی آلودگی هوا با استفاده از نرم‌افزار AERMOD

نرم‌افزار AERMOD برای شبیه‌سازی پراکندگی آلاینده‌ها از نقطه، منطقه و منابع حجمی استفاده می‌کند و برای دامنه کوتاه برد (۵۰ کیلومتر در ۵۰ کیلومتر) پیشنهاد می‌شود (۲۲) در این مطالعه شعاع مدل‌سازی ۲۵ کیلومتر از مرز بالافصل پروژه در نظر گرفته شد زیرا شعاع ۲۵ کیلومتری اکثر مناطق جمعیتی پیرامون سایت مورد نظر را در بر می‌گرفت؛ همچنین به منظور تعیین مقیاس

1. Air Pollution Index

2. Air Quality Index

و خروجی بر حسب متراژ بر ثانیه می‌باشد.

بررسی اثرات تجمعی آلودگی هوا

به منظور بررسی اثرات تجمعی آلودگی هوا، پس زمینه منطقه مورد مطالعه از لحاظ غلظت آلاینده‌های ذکر شده مورد بررسی قرار گرفت. بدین منظور ۷ نقطه در منطقه مورد مطالعه (جدول ۲) و مراکز جمعیتی پیرامون آن و در جهات مختلف باد انتخاب و توسط آزمایشگاه معتمد محیط زیست نمونه گیری صورت گرفت. در نهایت با استفاده از مازول بک گراند در نرم افزار AERMOD ارزیابی اثرات تجمعی صورت گرفت. این مازول در ابتدا بدون در نظر گرفتن آلودگی هوا ایجاد شده توسط سه دودکش در منطقه یاد شده، میزان آلودگی هوا را برای آلاینده‌های NO_x , SO_{10} , PM_{10} و CO در منطقه مورد مطالعه محاسبه می‌کند. در مرحله بعد پس از محاسبه غلظت زمینه در این منطقه به تجمعی جبری و کمی سازی میزان غلظت زمینه با آلودگی حاصل از سه دودکش یاد شده می‌پردازد.

جدول ۲. غلظت زمینه اندازه‌گیری شده

نام	طول عرض	تاریخ نمونه	جغرافیایی	جغرافیایی	برداری
شهرک باهنر	۵۶°۱۳'۴۷۱	۱۳۹۸/۰۶/۰۷	۲۷°۹'۹۴۳	۵۶°۱۳'۴۷۱	
بوستانو	۵۵°۵۹'۹۷	۱۳۹۸/۰۶/۰۷	۲۷°۴'۸۸۲	۵۵°۵۹'۹۷	
مرکز شهر بندربعباس	۵۶°۱۶'۰۳۷	۱۳۹۸/۰۶/۰۷	۲۷°۱۱'۰۳۵	۵۶°۱۶'۰۳۷	
شهرک مروارید	۵۶°۹'۱۳۴	۱۳۹۸/۰۶/۰۷	۲۷°۱۶'۷۹۲	۵۶°۹'۱۳۴	
تل سیاه	۵۶°۱۳'۲۴۷	۱۳۹۸/۰۶/۰۷	۲۷°۱۳'۷۲۰	۵۶°۱۳'۲۴۷	
جاده اسلکه رجایی به موازات مرزبلافضل	۵۶°۵'۷۸۵	۱۳۹۸/۰۶/۰۷	۲۷°۹'۳۹۹	۵۶°۵'۷۸۵	
جاده اسلکه رجایی به موازات منطقه ویژه صنعتی	۵۶°۵'۷۸۵	۱۳۹۸/۰۶/۰۷	۲۷°۸'۷۷۴	۵۶°۵'۷۸۵	

یافته‌ها

در جدول ۳ اطلاعات مربوط به اندازه‌گیری سه دودکش بر حسب (گرم بر ثانیه) و در جدول ۴ مشخصات مربوط به دودکش‌ها قابل مشاهده است. در جدول ۵ خلاصه‌ای از نتایج هواشناسی ایستگاه سینوپتیک عباس آباد از تاریخ ۱۳۹۱/۱۰/۱۲ تا ۱۳۹۶/۱۰/۱۱

باد، سرعت باد، بارندگی یک ساعته، رطوبت نسبی و دمای خشک شروع به اقدام محاسباتی همچون ارتفاع اختلاط همرفتی و مکانیکی، مقیاس سرعت همرفتی و غیره می‌نماید که این اطلاعات به صورت خروجی وارد مدل AERMOD شد. در این مرحله اطلاعات اخذ شده از سازمان هواشناسی کشور (ایستگاه سینوپتیک بندربعباس) از تاریخ ۱۳۹۱/۱۰/۱۲ تا ۱۳۹۶/۱۰/۱۱ شمسی بوده است، که این اطلاعات به طور کلی به صورت سه ساعته گزارش می‌شوند؛ و برای تبدیل اطلاعات سه ساعته به یک ساعته از نرم افزار Excel ۲۰۱۳ استفاده شد.

۲. پیش‌پردازشگر^۱: برای مباحث توپوگرافی و مدل رقومی ارتفاع منطقه مطالعاتی طبق فرمت نرم افزار از داده‌های SRTM ۹۰ متری استفاده و خروجی آن نیز وارد مدل AERMOD شد.

۳. مازول اصلی AERMOD: مدل AERMOD یک مدل گوسی پخش و پراکنش آلاینده‌های گازی بوده که رفتار توده حاوی آلاینده‌ها را بر مبنای حل معادلات پخش و پراکنش در حالت دائمی برای هر آلاینده به صورت جداگانه مدل‌سازی می‌کند. در نتیجه در این پژوهش میزان آلودگی هوا برای آلاینده‌های PM_{10} , SO_x , NO_x و CO هر بار به صورت جداگانه محاسبه شده‌اند. عملکرد مدل AERMOD برای مدل‌سازی نزدیک منطقه (حداکثر ۵۰ کیلومتر) برای شرایط پایداری مختلف بر مبنای تلاطم لایه مرزی سیارهای استوار است؛ همچنین این نرم افزار میزان آلاینده‌ها را به صورت مکانمند بر اساس میکروگرم بر مترمکعب گزارش می‌دهد (۹ و ۱۹). برای این پژوهش بالاترین غلظت، دما و سرعت خروجی مربوط به دودکش در بازه زمانی ۵ ساله به صورت به دست آمده است:

$$E = Q * C$$

$$Q = A * S$$

در این رابطه E نرخ انتشار بر اساس واحد $Q(\text{g}/\text{s})$ (دبی حجمی) بر اساس واحد (مترمکعب در ثانیه)، C غلظت جرمی آلاینده بر اساس واحد (گرم بر مترمکعب)، A سطح مقطع بر حسب مترمربع

1. AMS EPA Regulatory Map

جدول ۳. نرخ انتشار دودکش ها

آلاینده	دودکش ۱	دودکش ۲	دودکش	واحد
نرخ خروجی X_{NO}	گرم بر ثانیه	.	.	۰/۱۴۴۲
نرخ خروجی CO	گرم بر ثانیه	۰/۰۶۶	۰/۰۶۶	۱/۴۴۲
نرخ خروجی X_{SO_2}	گرم بر ثانیه	.	.	۰/۱۵۸۷
نرخ خروجی PM_{10}	گرم بر ثانیه	۱/۳۸	۱/۳۸	۰/۰۴۲۵

جدول ۴. مشخصات دودکش ها

مشخصات		خروجی ۱ خروجی ۲ خروجی		۳
عرض جغرافیایی	بر حسب UTM	۳۰۱۶۹۰	۳۰۱۶۹۰	۳۰۱۶۹۰
طول جغرافیایی	بر حسب UTM	۱۰۰۹۱۹۰	۱۰۰۹۱۹۰	۱۰۰۹۱۹۰
دماهی گاز خروجی	درجه سانتیگراد	۵۹/۱	۵۹/۱	۵۹/۱
قطر دودکش	متر	۲/۶۴	۲/۶۴	۲/۶۴
ارتفاع دودکش	متر	۱۲	۱۲	۱۲
سرعت گاز خروجی	متر بر ثانیه	۱۱/۱	۱۱/۱	۱۱/۱
دبی خروجی	مترمکعب بر ثانیه	۶۰/۷۶	۶۰/۷۶	۶۰/۷۶

جدول ۵. وضعیت هواشناسی منطقه

ماه	بارندگی ماهانه حداکثر بارندگی در رطوبت نسبی (میلی‌متر)	تعداد روزهای همراه با گرد و غبار (درصد)	ساعت آفتابی (ساعت)	یخbandان	با گرد و غبار	وزش باد (متبر ثانیه)	حداکثر سرعت میانگین دمای هوا	فروردین
اردیبهشت	۱۵/۴	۱۱	۶۸	۰.	۷	۳۲۰/۱	۱۴	۱۶/۷۶
خرداد	۰.	۰.	۶۰	۰.	۱۷	۳۳۶/۸	۱۲	۱۸/۸۱
تیر	۱/۳	۶۶	۰.	۶۶	۱۷	۲۰۴/۵	۹	۲۸/۲۹
مرداد	۰.	۰.	۶۵	۰.	۱۶	۳۰۴/۴	۹	۳۲/۵۴
شهریور	۰.	۰.	۶۲	۰.	۱۹	۲۸۸/۶	۹	۳۵/۰۷
مهر	۰.	۰.	۷۰	۰.	۸	۲۳۶/۶	۸	۳۵/۶۶
ابان	۰.	۰.	۶۵	۰.	۴	۲۶۸/۳	۷	۳۵/۳۲
آذر	۰/۱	۰/۱	۵۸	۰.	۲	۲۰۸/۶	۱۶	۳۲/۹۶
دی	۰.	۰.	۶۴	۰.	۶	۲۲۵/۴	۱۲	۲۹/۸۸
بهمن	۱۰/۸/۶	۱۸/۵	۷۲	۰.	۷	۱۵۷/۷	۱۲	۲۳/۵۸
اسفند	۱۲/۷	۵/۵	۶۹	۰.	۲	۲۰۶/۷	۱۱	۱۸/۷۹

بحث

اما در میان آنها دو آلوده‌کننده مهم اکسید نیتریک NO و دی اکسید ازت NO_2 می‌باشند. دی اکسید نیتروژن یکی از اجزاء اصلی تشکیل‌دهنده باران اسیدی یا آئروسل‌های اسیدی بوده که می‌تواند درختان یا برکه‌ها یا دریاچه‌ها را تخریب نماید و به آن‌ها آسیب بزند.

شمسمی آورده شده است. در نهایت غلظت‌های پیش بینی شده بدون و با در نظر گرفتن غلظت زمینه برای آلاینده‌های مختلف به ترتیب در جدول ۶ و ۷ آورده شده‌اند. همانطور که در این جداول (۶ و ۷) قابل مشاهده است، شهر بندرب Abbas به همراه ۲۷ مرکز جمعیتی در این محدوده مورد بررسی قرار گرفته‌اند. طبق نتایج نه تنها در حالت بدون در نظر گرفتن غلظت زمینه بلکه در حالت تجمعی نیز میزان غلظت هرکدام از آلاینده‌ها باز هم بسیار کمتر از حد استاندارد تعیین شده توسط سازمان محیط زیست می‌باشد. همچنین در جدول ۸ بیشترین و کمترین مناطقی که تحت تاثیر آلاینده‌های مختلف بوده‌اند در حالت حداکثر تاثیر الودگی هوا (دخلی کردن غلظت زمینه) آورده شده‌اند.

جدول ۶. غلظت آلاینده‌ها در مناطق مختلف بدون در نظر گرفتن غلظت زمینه

نام	PM ₁₀ (max24)	SO _x (max24)	SO _x (max1)	NO _x (max1)	NO _x (annual)	CO(max8)	CO(max1)
حد استاندارد (میکروگرم بر متر مکعب)	۱۵۰	۳۹۵	۱۹۶	۲۰۰	۱۰۰	۰/۴۵۶۵۸	۰/۰۰۷۷
تل سیاه	۰/۲۴۴۴۴	۰/۰۱۳۵۵	۰/۱۱۰۸۲	۰/۲۲۱۶۳	۰/۰۰۵۲	۰/۴۵۶۵۸	۰/۰۰۷۷
جمال احمد	۰/۳۱۰۵	۰/۰۱۴۷۴	۰/۱۱۴۵۹	۰/۲۲۹۱۸	۰/۰۰۵۶	۰/۵۰۰۸۶	۰/۰۴۶۸۲
شهرک مروارید	۰/۰۵۴۸	۰/۰۳۹۷۸	۰/۵۴۹۳۲	۰/۹۸۶۳	۰/۰۰۱۶	۰/۹۸۵۱۱	۰/۰۵۲۳۵۱
شهر	۰/۳۴۰۵۱	۰/۰۸۷۴۴	۰/۵۴۱۱۷	۰/۰۸۲۳۴	۰/۰۰۹۲	۰/۱۲۴۵۷۸	۰/۳۸۱۲۹
تازیان	۰/۷۸۶۲۳	۰/۰۵۱۷۵	۰/۵۳۴۲۳	۰/۰۶۸۴۶	۰/۰۰۱	۰/۱۵۶۵۳	۰/۰۲۳۷۳
چاهو	۰/۹۱۹۲	۰/۰۴۶۹۵	۰/۰۵۲۳۷۷	۰/۰۷۵۳	۰/۰۰۶۳	۰/۶۷۸۰۲	۰/۴۹۹۵۹
گاربند	۰/۱۰۱۵۵	۰/۰۵۲۱	۰/۴۹۱۵۵	۰/۹۸۳۰۹	۰/۰۰۸۴	۰/۱۲۴۲۸۹	۰/۲۳۹۹۴
بلندو	۰/۰۹۷۲۲	۰/۰۴۷۲۳	۰/۴۷۱۲۸	۰/۹۴۲۵۷	۰/۰۰۷۹	۰/۷۷۹۰۳	۰/۰۵۴۶۲
سودارو	۰/۰۵۶۷۴	۰/۰۳۲۵۵	۰/۴۲۱۶۹	۰/۸۴۳۳۹	۰/۰۰۷۴	۰/۸۰۴۵۸	۰/۶۲۸۵۷
مق احمد پایین	۰/۰۲۸۱۴	۰/۰۲۵۳۹	۰/۲۸۵۸۶	۰/۵۷۱۷۳	۰/۰۰۴۷	۰/۶۶۱۲۷	۰/۵۲۶۵۳
بوستانو	۰/۶۷۶۹۹	۰/۰۳۵۰۴	۰/۶۳۸۳۸	۰/۳۱۹۱۹	۰/۰۱۱۸	۰/۱۳۲۸۹۳	۰/۰۰۲۳۶
فروندگاه رجائی	۰/۸۰۸۶۱	۰/۰۴۰۹۹	۰/۴۲۲۴۶	۰/۸۴۴۹۲	۰/۰۰۲۳	۰/۱۴۲۷۴	۰/۲۴۱۳۸
باراخین	۰/۲۶۷۲۶	۰/۰۴۴۳۳	۰/۳۴۸۳۱	۰/۶۹۶۶۳	۰/۰۰۳۵۹	۰/۱۳۸۲۳۹	۰/۹۷۳۴۱
تیاب	۰/۱۹۷۸۵	۰/۰۶۱۶۹	۰/۴۷۱۷۴	۰/۹۴۳۴۹	۰/۰۰۵۱۵	۰/۲۰۴۲۷	۰/۰۵۶۹۱
بندر باهنر	۰/۳۴۳۹	۰/۰۱۸۵۷	۰/۱۳۷۰۱	۰/۲۷۴۰۳	۰/۰۰۶۵	۰/۰۹۷۹۹	۰/۲۵۰۵۵
شهرک باهنر	۰/۳۹۹۴۱	۰/۰۲۶۰۵	۰/۱۲۳۹۲	۰/۲۴۷۸۵	۰/۰۰۵۵	۰/۷۰۹۵	۰/۰۹۵۹۲
پاتال ایسین	۰/۱۷۲۶۸	۰/۰۰۸۳	۰/۶۸۷۶	۰/۱۳۷۵۱	۰/۰۰۲۹	۰/۲۱۲۱	۰/۶۳۰۶
قلات بالا	۰/۲۴۷۴۲	۰/۰۸۱۴۲	۰/۳۷۳۹۲	۰/۷۴۷۸۵	۰/۰۰۵۶	۰/۹۸۴۱۲	۰/۸۵۶۲۵
قلات پایین	۰/۶۱۵۰۶	۰/۰۴۰۱۶	۰/۴۵۶۲۴	۰/۹۱۲۴۸	۰/۰۰۶۱	۰/۸۵۰۳۹	۰/۹۲۵۵۵
چاه گود	۰/۹۸۳۸۹	۰/۰۲۸۵۷	۰/۳۸۵۱۶	۰/۷۷۰۳۳	۰/۰۰۴	۰/۱۸۶۸۷	۰/۷۸۵۰۸
چامردان	۰/۸۸۲۳۸	۰/۰۴۳۰۹	۰/۴۹۰۱۶	۰/۸۱۸۳۲	۰/۰۰۶	۰/۱۱۴۱۲	۰/۶۷۰۵۸
کشار بالا	۰/۴۵۸۴۸	۰/۰۲۷۴۵	۰/۳۶۵۳۶	۰/۷۳۰۷۳	۰/۰۰۴	۰/۰۷۷۶	۰/۱۷۶۸۲
سارگپ	۰/۶۳۶۸۴	۰/۰۳۴۳۳	۰/۳۴۱۵۲	۰/۶۸۳۰۳	۰/۰۰۵۳	۰/۹۳۹۹۴	۰/۹۴۲۱۳
کشار پایین	۰/۶۵۴۳۴	۰/۰۳۷۸۳	۰/۳۱۶۴۷	۰/۶۳۲۹۳	۰/۰۰۴۴	۰/۲۰۳۶۹	۰/۷۷۲۴۵۲
تولا	۰/۱۸۰۹۲	۰/۰۱۰۱	۰/۰۳۸۷۹	۰/۷۷۵۷	۰/۰۰۱۰۵	۰/۲۷۱۴۷	۰/۳۵۴۵۲
بندر عباس	۰/۱۵۶۹۶	۰/۰۰۹۰۳	۰/۰۷۷۸۶	۰/۱۵۵۷۲	۰/۰۰۳	۰/۲۹۹۸۲	۰/۷۱۱۲۶
منطقه ویژه خلیج فارس	۰/۰۹۰۱۲	۰/۰۴۶۵۳	۰/۳۸۵۵۴	۰/۷۷۱۰۸	۰/۰۰۳۰۷	۰/۰۰۶۶۶	۰/۳۴۴۳۶
قسم	۰/۱۱۷۹۸	۰/۰۰۶۴۲	۰/۰۶۳۳۷	۰/۱۲۶۷۴	۰/۰۰۵	۰/۱۸۲۱۷	۰/۵۴۳۷۳

بالاتر از حد استاندارد نخواهد بود؛ اما این شرایط به معنی اینکه هیچ خطی ساکنان این مناطق را تهدید نمی‌کند نمی‌باشد. مهم‌ترین آلاینده در این پژوهش NO_x بوده است که کمترین اختلاف را با حد مجاز آزادگی دارد (حدود ۲۰ میکروگرم بر متر مکعب) که این حد مجاز در سال ۱۳۹۵ شمسی توسط سازمان محیط زیست تهیه شده است. طبق جدول ۸ حد مجاز آزادگی برای NO_x در حالت

آثروس‌های اسیدی میزان بینایی را کاهش می‌دهند. همچنین آثروس‌های اسیدی می‌توانند سنگ‌های مورد استفاده در نمای ساختمان‌ها، مجسمه‌ها و بناهای تاریخی را تخریب نمایند.

نتایج حاصل از پژوهش حاضر حاکی از این است که در این نقطه جمعیتی پیرامون مرز بلافصل از نظر غلظت آلاینده‌ها در هر دو حالت با و بدون غلظت زمینه، غلظت هیچ آلاینده‌ای غلظت

جدول ۷. غلظت آلاینده‌ها در مناطق مختلف با در نظر گرفتن غلظت زمینه

نام	PM_{10} (max24)	SO_x (max24)	SO_x (max1)	NO_x (max1)	CO (annual)	CO (max8)	CO (max1)
حد استاندارد (میکروگرم بر مترمکعب)	۷۷/۲۴۴۴۴	۸۴/۰۱۳۵۵	۸۴/۱۱۰۸۲	۸۰/۰۰۰۵۲	۱۹۶۲/۳۷	۱۹۶۳/۰۰۱	۱۹۶۳/۰۰۱
تل سیاه	۷۷/۳۱۰۵	۸۴/۰۱۴۷۴	۸۴/۱۱۴۵۹	۸۰/۰۰۰۵۶	۱۹۶۲/۳۹۲	۱۹۶۳/۰۴۷	۱۹۶۳/۰۴۷
جمال احمد	۷۷/۰۵۴۸	۸۴/۰۳۹۷۸	۸۴/۰۴۹۳۲	۸۰/۰۰۰۱۶	۱۹۶۲/۹۸۵	۱۹۶۷/۰۵۲۴	۱۹۶۷/۰۵۲۴
شهرک مروارید	۷۸/۳۴۰۵۱	۸۴/۰۸۷۴۴	۸۴/۰۴۱۱۷	۸۰/۰۰۰۹۲	۱۹۶۳/۰۴۵	۱۹۶۷/۰۳۸۱	۱۹۶۷/۰۳۸۱
شهره	۷۷/۷۸۶۲۳	۸۴/۰۵۱۷۵	۸۴/۰۳۴۲۳	۸۰/۰۰۰۱۱	۱۹۶۳/۱۵۷	۱۹۶۷/۰۲۴	۱۹۶۷/۰۲۴
تازیان	۷۷/۰۸۵۲۱	۸۴/۰۴۶۹۵	۸۴/۰۲۳۷۷	۸۰/۰۰۰۶۳	۱۹۶۳/۲۴۸	۱۹۶۷/۰	۱۹۶۷/۰
چاهو	۷۷/۷۹۹۶۷	۸۴/۰۵۲۱	۸۴/۰۴۹۱۵۵	۸۰/۰۰۰۸۴	۱۹۶۳/۲۴۳	۱۹۶۶/۰۲۴	۱۹۶۶/۰۲۴
کاربند	۷۷/۰۷۲۲	۸۴/۰۴۷۲۳	۸۴/۰۴۷۱۲۸	۸۰/۰۰۰۷۹	۱۹۶۳/۷۷۹	۱۹۶۶/۰۰۵	۱۹۶۶/۰۰۵
بلندو	۷۷/۰۵۶۷۶	۸۴/۰۲۳۵۵	۸۴/۰۲۱۶۹	۸۰/۰۰۰۷۴	۱۹۶۲/۷۵۹	۱۹۶۰/۶۲۹	۱۹۶۰/۶۲۹
سودارو	۷۷/۴۲۸۱۴	۸۴/۰۲۵۳۹	۸۴/۰۲۸۰۸۶	۸۰/۰۰۰۴۷	۱۹۶۲/۵۵	۱۹۶۴/۰۲۷	۱۹۶۴/۰۲۷
مق احمد پایین	۷۷/۰۶۷۶۹۹	۸۴/۰۳۰۴	۸۴/۰۳۱۹۱۹	۸۰/۰۰۰۱۸	۱۹۶۲/۹۵۹	۱۹۶۰/۰۰۲	۱۹۶۰/۰۰۲
بوستانو	۷۷/۰۸۶۱	۸۴/۰۴۰۹۹	۸۴/۰۲۲۴۶	۸۰/۰۰۰۲۳	۱۹۶۳/۰۳۱	۱۹۶۶/۰۲۱	۱۹۶۶/۰۲۱
فرودگاه رجایی	۷۸/۲۶۷۲۶	۸۴/۰۴۴۳۳	۸۴/۰۳۴۸۳۱	۸۰/۰۰۰۳۵۹	۱۹۶۳/۳۸۲	۱۹۶۷/۹۷۳	۱۹۶۷/۹۷۳
باراخن	۷۸/۱۹۷۸۵	۸۴/۰۶۱۶۹	۸۴/۰۷۱۷۴	۸۰/۰۰۰۵۱	۱۹۶۴/۰۲۴	۱۹۶۷/۰۵۷	۱۹۶۷/۰۵۷
تیاب	۷۷/۰۳۴۳۹	۸۴/۰۱۸۵۷	۸۴/۰۱۳۷۰۱	۸۰/۰۰۰۶۵	۱۹۶۲/۵۹۸	۱۹۶۳/۰۵۱	۱۹۶۳/۰۵۱
بندر باهنر	۷۷/۰۳۹۹۴۱	۸۴/۰۲۶۰۵	۸۴/۰۲۳۹۲	۸۰/۰۰۰۵۵	۱۹۶۲/۴۳۱	۱۹۶۳/۰۹۶	۱۹۶۳/۰۹۶
شهرک باهنر	۷۷/۰۱۲۶۸	۸۴/۰۰۸۳	۸۴/۰۱۳۷۵۱	۸۰/۰۰۰۲۹	۱۹۶۲/۲۱۲	۱۹۶۲/۶۳۱	۱۹۶۲/۶۳۱
پاتال ایسین	۷۸/۰۲۴۷۴۲	۸۴/۰۸۱۴۲	۸۴/۰۳۷۳۹۲	۸۰/۰۰۰۵۶	۱۹۶۲/۹۷۵	۱۹۶۵/۰۸۵	۱۹۶۵/۰۸۵
قلات بالا	۷۷/۰۶۱۰۶	۸۴/۰۴۵۶۲۴	۸۴/۰۱۲۴۸	۸۰/۰۰۰۶۱	۱۹۶۲/۸۵	۱۹۶۰/۹۲۶	۱۹۶۰/۹۲۶
قلات پایین	۷۷/۰۴۷۲	۸۴/۰۲۸۵۷	۸۴/۰۳۸۰۱۶	۸۰/۰۰۰۴	۱۹۶۳/۱۸۷	۱۹۶۰/۷۸۵	۱۹۶۰/۷۸۵
چاه گود	۷۷/۰۷۹۱۸	۸۴/۰۴۳۰۹	۸۴/۰۹۱۶	۸۰/۰۰۰۶	۱۹۶۳/۱۱۴	۱۹۶۵/۶۷۱	۱۹۶۵/۶۷۱
چامردان	۷۷/۰۴۵۸۴۸	۸۴/۰۲۷۴۵	۸۴/۰۳۶۵۳۶	۸۰/۰۰۰۴	۱۹۶۲/۷۰۸	۱۹۶۵/۱۷۷	۱۹۶۵/۱۷۷
کشار بالا	۷۷/۰۶۳۶۸۴	۸۴/۰۳۳۳۳	۸۴/۰۳۴۱۵۲	۸۰/۰۰۰۵۳	۱۹۶۲/۹۴۲	۱۹۶۴/۰۴۲	۱۹۶۴/۰۴۲
سارگب	۷۷/۰۶۴۳۴	۸۴/۰۳۷۸۳	۸۴/۰۳۱۶۴۷	۸۰/۰۰۰۴۴	۱۹۶۳/۱۰۴	۱۹۶۴/۰۷۲۵	۱۹۶۴/۰۷۲۵
کشار پایین	۷۷/۰۱۸۹۲	۸۴/۰۱۰۱	۸۴/۰۲۳۹۲	۸۰/۰۰۰۱۵	۱۹۶۲/۲۷۱	۱۹۶۲/۰۳۵	۱۹۶۲/۰۳۵
تولا	۷۷/۰۱۵۶۶	۸۴/۰۰۹۰۳	۸۴/۰۱۵۷۲	۸۰/۰۰۰۳	۱۹۶۲/۳	۱۹۶۲/۷۱۱	۱۹۶۲/۷۱۱
بندر عباس	۷۷/۰۷۵۵۴	۸۴/۰۴۶۵۳	۸۴/۰۳۸۵۰۵	۸۰/۰۰۰۲۷	۱۹۶۳/۰۰۷	۱۹۶۵/۰۴۴	۱۹۶۵/۰۴۴
منطقه ویژه خلیج فارس	۷۷/۱۱۷۹۸	۸۴/۰۰۶۴۲	۸۴/۰۱۲۶۷۴	۸۰/۰۰۰۵	۱۹۶۲/۱۸۲	۱۹۶۲/۰۴۴	۱۹۶۲/۰۴۴
قسم	۷۷/۰۲۴۴۴۴	۸۴/۰۱۳۵۵	۸۴/۰۱۱۰۸۲	۸۰/۰۰۰۵۲	۱۹۶۲/۳۷	۱۹۶۳/۰۰۱	۱۹۶۳/۰۰۱

جدول ۸. حداقل و حد اکثر غلظت‌های اندازه گیری شده در مناطق مختلف

آلاینده	حد استاندارد (میکروگرم بر مترمکعب)	نمطه با کمترین آلودگی	نمطه با بیشترین آلودگی	منطقه با بیشترین آلودگی
(CO) ساعته	۴۰۰۰	۱۹۶۲/۳۵۵	۱۹۵۷/۷۳	باراخن
(CO) ساعته	۱۰۰۰	۱۹۶۲/۱۸۲	۱۹۶۴/۰۲۴	تیاب
(NO _x) سالیانه	۱۰۰	۸۰/۰۰۰۲۹	۸۰/۰۰۰۵۱	تیاب
(NO _x) ساعته	۲۰۰	۸۰/۰۷۷۵۷	۸۱/۰۹۸۶۳	شهرک مروارید
(SO _x) ساعته	۱۹۶	۸۴/۰۳۸۷۹	۸۴/۰۳۸۵۲	تولا
(SO _x) ساعته	۳۹۵	۸۴/۰۶۴۲	۸۴/۰۷۴۴	شهره
(PM ₁₀) ۲۴ ساعته	۱۵۰	۷۷/۱۱۷۹۸	۷۸/۳۴۰۵۱	شهره

نتیجه‌گیری

براساس نتایج پژوهش حاضر، بهمنظور ارزیابی و کمی‌سازی غلظت آلاینده‌های مناطق پیرامون نقاط آلاینده صنعتی علاوه بر مدل‌سازی سه منبع نقطه‌ای برای آلاینده‌های NO_x , SO_{10} , CO ، آلودگی‌های موجود در زمینه نیز بهتر است بکار گرفته شوند. معیار آلودگی‌ها از یکسو می‌تواند نقش مؤثری در مدیریت چیدمان بهینه کاربری‌ها داشته باشد و از سوی دیگر به تعیین سیاست‌های کلی جامعه در جهت تعیین و توسعه کاربری‌ها کمک می‌کند. با توجه به موقعیت مکانی شهرستان بندرعباس و در نظر گرفتن دو کاربری اصلی این شهرستان (شهری و صنعتی) و تعارضاتی که بیشتر به دلیل آلودگی‌های منطقه که از صنایع آلاینده حاصل شده‌اند و با رشد جمعیت بیشتر خواهد شد بهتر است برای مدیریت اراضی اینگونه مناطق از ادغام مدل‌سازی آلودگی‌ها و آلودگی‌های موجود در زمینه نیز همراه با سایر مؤلفه‌های اقتصادی و اجتماعی استفاده شود. خلاصه آنکه، بهبودهای ذکر شده در این پژوهش ارتباطی به زمان یا مکان معینی ندارد و قابلیت استفاده در هر منطقه‌ای از زمین را دارد.

پیشنهادها برای پژوهش‌های آتی می‌تواند شامل آن تحقیقات پیگیرانه‌ای باشند که با استفاده از پردازش داده‌ها توسط نرم افزار AirQ خطر نسیی آلاینده‌های مختلف را بر سلامت افراد چامعه محاسبه نموده و حاصل کار را به صورت کمی نمایش دهد. همچنین مدل AirQ یکی از معتبرترین روش‌ها جهت کمی سازی اثرات آلودگی‌ها بر مبنای روش ارزیابی خطر است که بیشتر از نوع آماری همه‌گیرشناسی بوده و توسط WHO در سال ۲۰۰۴ ارائه شده است. این مدل کاربر را قادر می‌سازد که اثرات بالقوه ناشی از تماس با یک آلاینده مشخص بر انسان را در یک ناحیه معین و طی دوره زمانی خاص ارزیابی نماید و یک ابزار معتبر و قابل اعتماد به منظور برآورد اثرات کوتاه مدت آلاینده‌های هوا است.

ملاحظات اخلاقی

این مقاله حاصل طرح تحقیقاتی مطالعات ارزیابی اثرات زیست

سالیانه ۱۰۰ میکروگرم بر متر مکعب می‌باشد که در حال حاضر غلظت این آلاینده برابر ۸۰ میکروگرم بر متر مکعب است. در نتیجه در این محدوده مطالعاتی اگر در کاربری صنعتی بارگذاری بیشتری انجام شود به احتمال زیاد اختلاف ۲۰ میکروگرمی NO_x با حد مجاز خود شکسته خواهد شد؛ و ممکن است ساکنان با مشکلات یاد شده در مطالعه (۲۳) مواجه شوند.

تاکنون پژوهش‌های متعددی در رابطه با ارزیابی توان انواع کاربری‌ها و برنامه‌ریزی کاربری اراضی در مناطق مختلف بدون لحاظ معیار آلودگی هوا انجام شده است (۲۴، ۲۵، ۲۶ و ۲۷). برای نمونه در انتخاب مکان‌های مناسب برای مناطق صنعتی با استفاده از معیارها و زیرمعیارهای سنتی و بدون در نظر گرفتن تأثیر معیار آلودگی هوا مکان‌یابی این مناطق انجام شده است. به عبارتی تعارضات کاربری صنعتی و آلودگی هوا حاصل از آن با سایر کاربری‌های موجود در منطقه دیده نشده است (۲۸ و ۲۹). هدف از انجام این پژوهش برخلاف تحقیقات یاد شده دخیل کردن معیار آلودگی هوا در سیاست‌های توسعه شهری است.

در نتیجه پژوهشگران با تعیین و کمی سازی میزان آلودگی هوا در حالت بیشینه برای کاربری شهری در یکی از مناطق مهم و پر چالش از لحاظ مخاطرات محیط‌زیستی و در جهت دستیابی به توسعه پایدار بوده‌اند. براساس نتایج پژوهش حاضر و طبق جدول ۸ مناطق مسکونی با راخین، تیاب، شهرک مروارید و شهر و بیشترین تأثیر را از آلاینده‌های PM_{10} , SO_x , NO_x و CO می‌گیرند. از طرف دیگر مناطق مسکونی تولا، قشم و پاتال ایسین کمترین مقدار آلودگی را از آلاینده‌های یاد شده به خود اختصاص داده‌اند در نتیجه می‌توان بیان کرد که مناطق مسکونی تولا، قشم و پاتال ایسین بهترین مناطق برای توسعه کاربری شهری می‌باشد اما مناطق مسکونی با راخین، تیاب، شهرک مروارید و شهر و بدترین مناطق از لحاظ آلودگی هوا برای توسعه شهری است. همچنین با غلظت‌های اندازه‌گیری شده که در جدول ۷ قابل مشاهده است می‌توان نتیجه گرفت که در این منطقه بارگذاری بیشتر کاربری‌های صنعتی می‌تواند باعث بروز مشکلات زیادی از لحاظ سلامتی، اقتصادی و اجتماعی شود.

تشکر و قدردانی

این مقاله حاصل پژوهش و تحقیقات نویسنده‌گان بوده است که با حمایت مجتمع بازیافت فولاد آبانگان معادن هرمزگان اجرا شد. بدین وسیله از تمام کسانی که در به ثمر رسیدن این مقاله کمک‌رسانی کرده‌اند بخصوص دکتر امید قدیریان که در جهت تأمین داده و اطلاعات راهنمایی بسیار کرده‌اند، تشکر و قدردانی می‌شود.

محیطی طرح احداث مجتمع بازیافت فولاد از ضایعات حاصل از ذوب با کد ۱۶۱۳۴ مصوب شورای پژوهشی کمیته تحقیقات شرکت بوم پایش اصفهان می‌باشد. نویسنده‌گان تمام نکات اخلاقی را از جمله عدم سرقت ادبی، انتشار چندگانه، داده‌سازی و یا تحریف اطلاعات را در این تحقیق رعایت کرده‌اند. همچنین هرگونه تضاد منافع حقیقی، حقوقی یا مادی که ممکن است بر نتایج یا تفسیر این تحقیق تأثیر بگذارد را در می‌کنند.

References

- Rahmati M H. Moghani V. Vesal M. The Effects of Short-Term Exposure to Air Pollution on Mortality Rates: The Case of Six Metropolitan Areas in Iran. *QJER* 2020; 20(2): 53-76. (Persian)
- Kelishadi R. Moeini R. Poursafa P. et al. Independent association between air pollutants and vitamin D deficiency in young children in Isfahan, Iran. *Paediatrics and international child health* 2014; 34(1), 50-55.
- Cai J. Yu S. Pei Y. et al. Association between airborne fine particulate matter and residents' cardiovascular diseases, ischemic heart disease and cerebral vascular disease mortality in areas with lighter air pollution in China. *International journal of environmental research and public health* 2018; 15: 1-17.
- Esmaeilzadeh M. Bazrafshan E. Nasrabadi M. Dispersion Modeling of NOX and SO2 Emissions from Tous Gas Power Plant, Mashhad. *Health & Environ* 2013; 6(1): 77-90. (Persian)
- Erfanmanesh M. Afyuni M. Environmental pollution water, soil. 8th ed. Arkan danesh; 2012. P. 115-120. (Persian)
- Abbaspour M. Air pollution modeling. First. Sharif University of Technology; 2012. P. 9-12. (Persian)
- Shin U. Ucan O. Bayat C. et al. Modeling of SO2 distribution in Istanbul using artificial neural networks. *Environmental Modeling & Assessment* 2005; 10(2): 135-142.
- Seangkiatiyuth K. Surapith V. Tantrakamapa k. et al. Application of the AERMOD modeling system for environmental impact assessment of NO2 emissions from a cement complex. *Environmental Science* 2011; 23(6): 931-940.
- Kalhor M. Ghalrh Askari S. Bozorgi M. AERMET performance in evaluation of boundary layer parameters and its effect on carbon monoxide concentration outputs in AERMOD model compared to upper air data. *Health & Environ* 2018; 11(3): 365-376. (Persian)
- Gargiulo M. Chiodi A. De Miglio R. et al. An integrated planning framework for the development of sustainable and resilient cities—the case of the InSMART project. *Procedia engineering* 2017; 198: 444-453.
- Bayat R. Ashrafi K. Motlagh M S. et al. Health impact and related cost of ambient air pollution in Tehran. *Environmental research* 2019; 176: 1-12.
- Issaloo A. Shahmoradi B. Bahrami S. editiors. Islamic Azad University-Sanandaj Branch. *Proceedings of the third national conference on urban development*. 2011 Oct. 26-27. Sanandaj. Iran. Civilica; 2011. (Persian)
- Mohammadi M. Grakvandi S. Godarzi Gh. editiors Sharif University of Technology. *Proceedings of the 6th national conference on air and noise pollution management*. 2018 Jan. 23-24. Tehran. Iran. Civilica; 2018. (Persian)
- Clougherty J E. Levy J I. Kubzansky L D. et al. Synergistic effects of traffic-related air pollution and exposure to violence on urban asthma etiology. *Environmental health perspectives* 2007; 115(8): 1140-1146.
- Miri M. Ghassoun Y. Dovlatabadi A. et al. Estimate annual and seasonal PM1, PM2.5 and PM10 concentrations using land use regression model. *Ecotoxicology and environmental safety* 2019; 174(15): 137-145.
- Bergstra A D. Brunekreef B. Burdorf A. The effect of industry-related air pollution on lung function and respiratory symptoms in school children. *Environmental Health* 2018; 17(1): 1-9.
- allaji H. Bohloul M.R. Peyghambarzadeh S.M. et al. Measurement of air pollutants concentrations from stacks of petrochemical company and dispersion modeling by AERMOD coupled with WRF model. *Int. J. Environ. Sci. Technol* 2023; 7217-7236.
- Han L. Zhao J. Gao Y. et al, J. Spatial distribution characteristics of PM2.5 and PM10 in Xi'an City predicted by land use regression models. *Sustainable Cities and Society* 2020; 61: 1-16.
- Peykanpour Fard R. Moradi H. Lotfi A. et al. Advancing the mapping of optimal land use structure in industrialized areas: incorporating AERMOD modeling and MCE

- approach. *GeoJournal* 2022; 1-17.
20. Sarwar M T. Maqbool A. Causes and control measures of urban air pollution in China. *Environment & Ecosystem Science (EES)* 2019; 3(1): 35-36.
 21. Deputy of the organization of Statistics and Information of Iran. Statistical yearbook of Hormozgan province in 1395. Hormozgan: Hormozgan Province Management and Planning Organization; 1396. (Persian)
 22. Shaikh K. Imran U. Khan A. et al. Health risk assessment of emissions from brick kilns in Tando Hyder, Sindh, Pakistan using the AERMOD dispersion model. *SN Applied Sciences* 2020; 2(7): 1-11.
 23. Echeverría R.S. Jiménez A.L.A. Barrera M.D.C.T. et al. Nitrogen and sulfur compounds in ambient air and in wet atmospheric deposition at Mexico city metropolitan area. *Atmospheric Environment* 2023; 292, 119411.
 24. Arefiev N. Terleev V. Badenko V. GIS-based fuzzy method for urban planning. *Procedia Engineering* 2015; 117(1): 39-44.
 25. Romano G. Dal Sasso P. Liuzzi G.T. et al. Multi-criteria decision analysis for land suitability mapping in a rural area of Southern Italy. *Land Use Policy* 2015; 48: 131-143.
 26. El Baroudy A.A. Mapping and evaluating land suitability using a GIS-based model. *Catena* 2016; 140: 96-140.
 27. Memarbashi E. Azadi H. Barati A.A. et al. Land-use suitability in Northeast Iran: application of AHP-GIS hybrid model. *ISPRS International Journal of Geo-Information* 2017; 6(12): 396- 410.
 28. kuo Y. Lu S. Tzeng G. et al. Using fuzzy integral approach to enhance site selection assessment—a case study of the optoelectronics industry. *Procedia Computer Science* 2013; 17: 306-313.
 29. Khavarian-Garmsir A.R. Rezaei M.R. Selection of appropriate locations for industrial areas using GIS-fuzzy methods. A case study of Yazd Township, Iran. *Journal of Settlements and Spatial Planning* 2013; 6(1): 19-25.